

MINISTÉRIO DA SAÚDE SECRETÁRIA DE ATENÇÃO À SAÚDE INSTITUTO NACIONAL DE TRAUMATOLOGIA E ORTOPEDIA

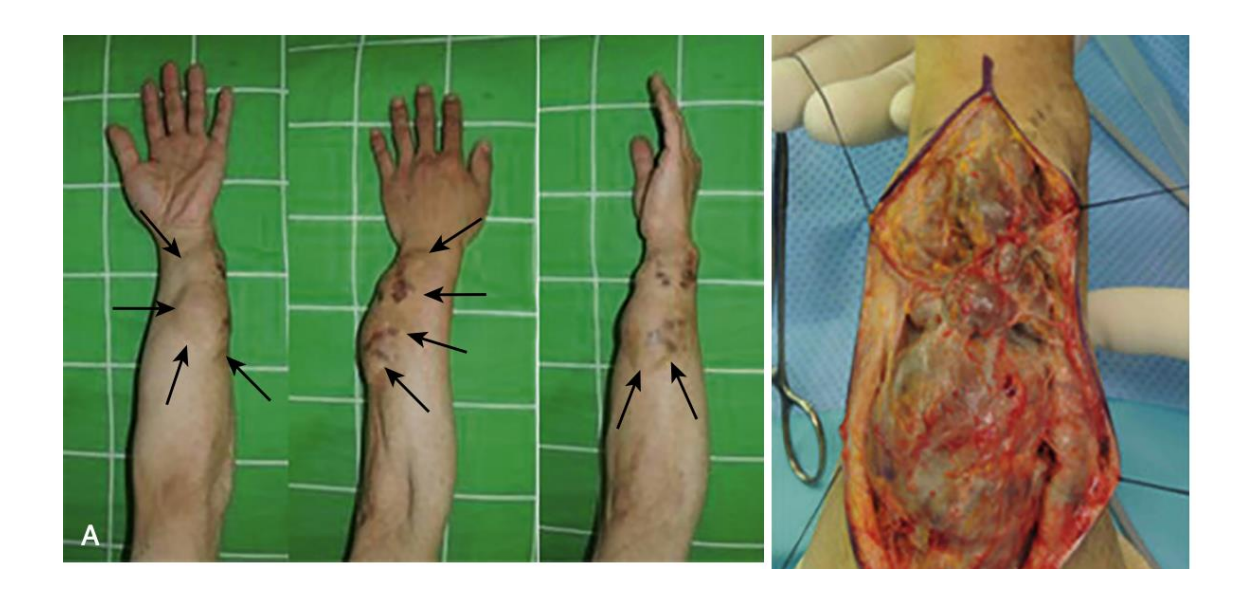
PROCESSO SELETIVO AOS PROGRAMAS DE RESIDÊNCIA MÉDICA 2025/2026 CIRURGIA DA MÃO PROVA TIPO C

INSTRUÇÕES DA PROVA OBJETIVA VOCÊ RECEBEU O SEGUINTE MATERIAL:

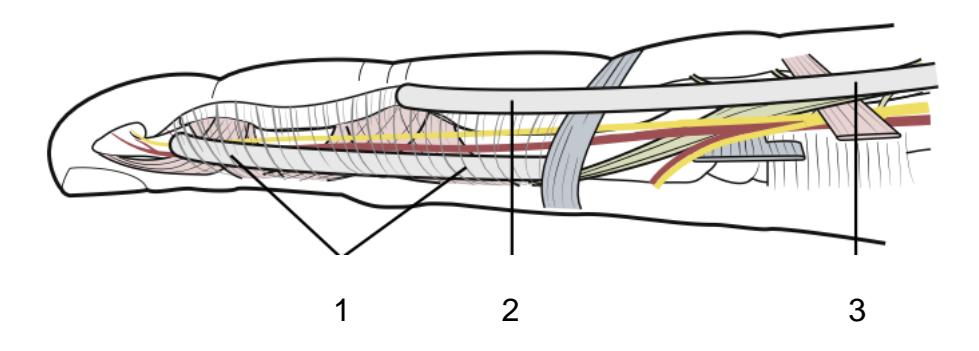
- A) Um CARTÃO-RESPOSTA personalizado;
- B) Um CADERNO DE QUESTÕES constituído de **cinquenta** questões de múltipla escolha, com **cinco** alternativas cada, sendo apenas **uma** opção correta.
- Confira, no CARTÃO-RESPOSTA, se seus dados pessoais, número da inscrição e cargo escolhido estão corretos.
- Assine o CARTÃO-RESPOSTA logo após o seu recebimento. Os cartões que forem entregues sem assinatura **NÃO** serão corrigidos.
- Após autorização para o início da prova, verifique, neste CADERNO DE QUESTÕES, se a sequência da numeração das questões e da paginação está correta.
- Se houver alguma irregularidade no material recebido, comunique a um dos fiscais.
- Em cima da mesa do candidato, só poderão estar o CARTÃO-RESPOSTA, este CADERNO DE QUESTÕES e a caneta esferográfica transparente de tina azul ou preta.
- Somente as respostas assinaladas no CARTÃO-RESPOSTA serão objeto de correção.
- Por motivo de segurança, o candidato **NÃO** poderá anotar seu gabarito em outro local que não seja seu CARTÃO-RESPOSTA.
- Após o término da prova, entregue ao fiscal o CARTÃO-RESPOSTA e este CADERNO DE QUESTÕES.
- A prova terá duração de três horas.
- Por motivo de segurança, o candidato só poderá se ausentar definitivamente do recinto das provas **após uma hora** contada a partir de seu início.
- Este CADERNO DE QUESTÕES **NÃO** poderá ser levado pelo candidato em nenhum momento.
- Os três últimos candidatos somente poderão deixar a sala juntos, até que o último entregue a prova, ou até que termine o tempo de duração. Deverão assinar a ata de sala, atestando a idoneidade e regularidade da finalização da prova.

1)	Em relação à anatomia dos ossos do carpo no membro superior, a forma mais comum do semilunar é a
	A) cilíndrica.B) triangular.C) hexagonal.D) pentagonal.E) quadrangular.
2)	A fusão óssea congênita mais comum do carpo é entre os ossos
	A) escafo-trapezoide.B) escafo-semilunar.C) semiluno-capitato.D) capitato-hamato.E) semiluno-piramidal.
3)	O germe mais comum relacionado à fasciite necrotizante na mão é o
	A) Streptococcus.B) Staphilococcus.C) Eikenella corrodens.D) Pasteurella multocida.E) MRSA comunitário.
4)	O gene que está relacionado com a doença de Dupuytren é
	A) SHOX.

B) CFTR. C) TIMP-1. D) COLG-3. E) HLA-B27. 5) Paciente imunocomprometido com quadro crônico de nodulações no antebraço visto na figura abaixo, corresponde a infecção característica de

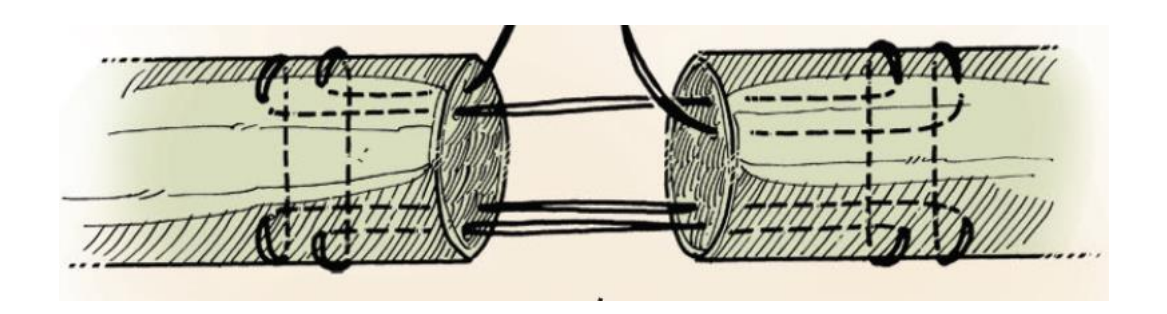


- A) MRSA.
- B) Brucerose.
- C) Aspergilose.
- D) Esporotricose.
- E) Fascite necrotizante.
- 6) Na doença de Dupuytren, a estrutura abaixo assinalada como número 1 corresponde a corda



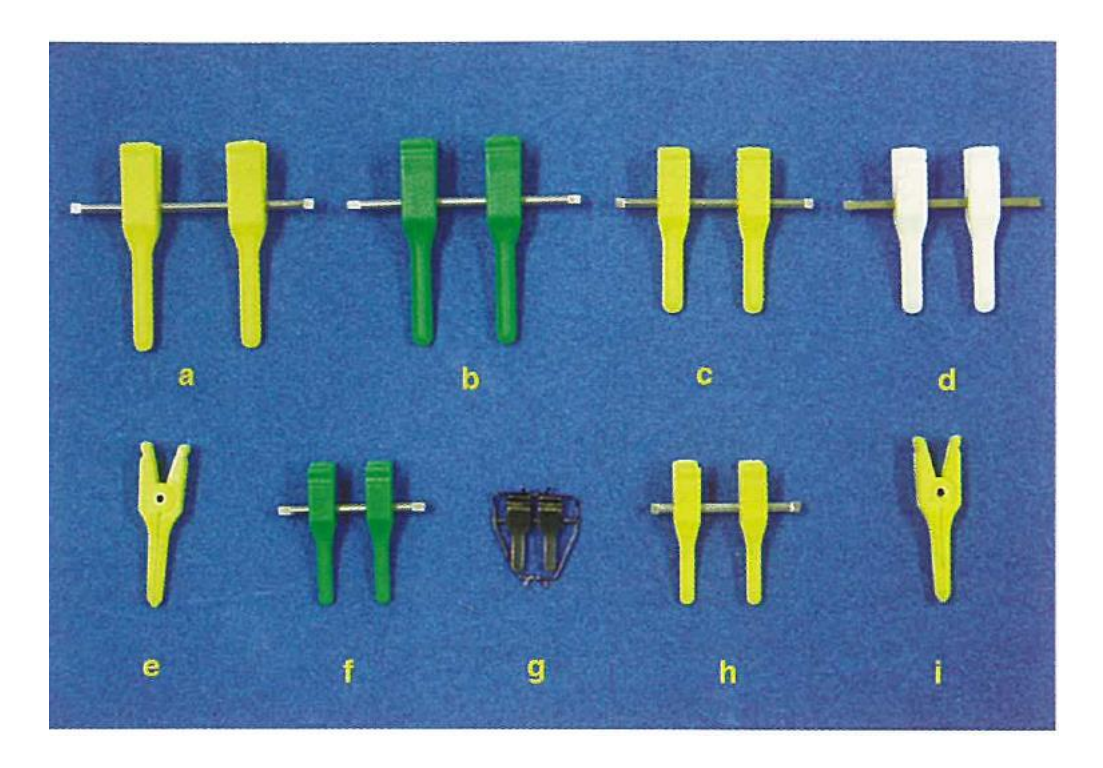
- A) central.
- B) lateral.
- C) espiral.
- D) retrovascular.
- E) legue-juvara.

- 7) Em relação à variação anatômica típica da disposição dos tendões extensores, o tendão mais comumente ausente é o extensor
 - A) curto do dedo polegar.
 - B) comum do dedo anular.
 - C) comum do dedo mínimo.
 - D) próprio do dedo mínimo.
 - E) próprio do dedo indicador.
- 8) A tenorrafia do tendão flexor demonstrada na figura abaixo corresponde a técnica cirúrgica descrita por



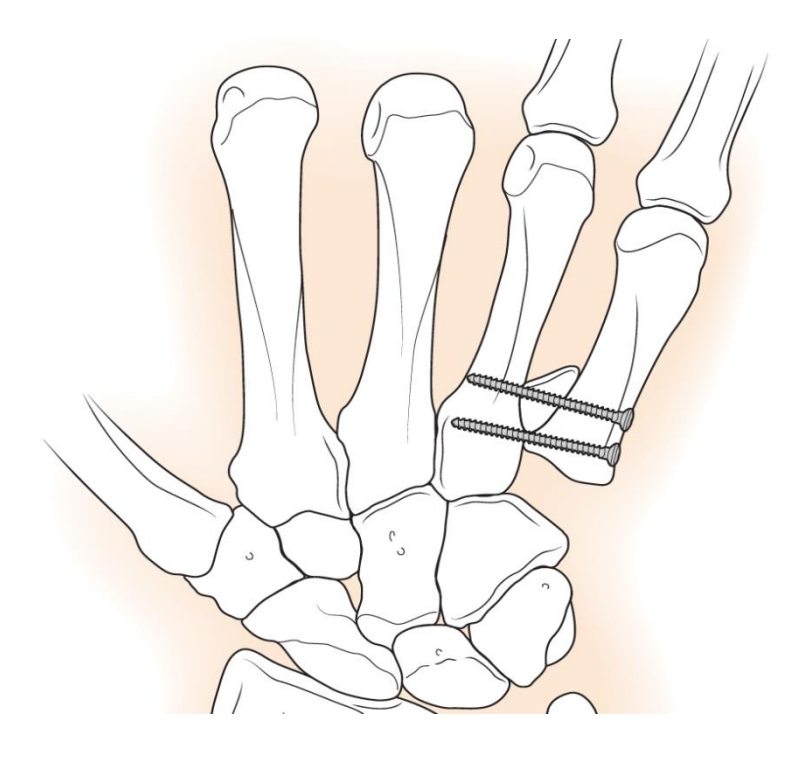
- A) BUNNELL.
- B) STRICKLAND.
- C) GELBERMAN.
- D) KESSLER DUPLO.
- E) TAJIMA MODIFICADO.
- 9) O tratamento cirúrgico da sindactilia entre o polegar e o indicador deve ser realizada idealmente na criança em torno de
 - A) 3 a 6 meses de vida.
 - B) 6 a 9 meses de vida.
 - C) 9 a 12 meses de vida.
 - D) 12 a 18 meses de vida.
 - E) 24 a 36 meses de vida.

10) Em relação aos princípios de microcirurgia , na figura abaixo o clampe utilizado na microanastomose venosa corresponde à cor



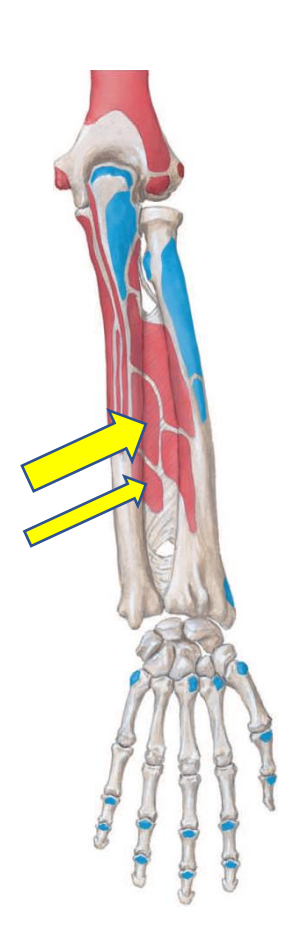
- A) PRETA.
- B) VERDE.
- C) BRANCA.
- D) AMARELA (a).
- E) AMARELA (e).
- 11) O maior risco da falha do reparo cirúrgico da fibrocartilagem triangular da instabilidade radioulnar distal de origem traumática está associada à fosseta sigmóidea da forma
 - A) plana.
 - B) em"C".
 - C) em "S"
 - D) em "L".
 - E) rampa de ski.

12) A técnica cirúrgica descrita na figura abaixo para o tratamento da artrite sintomática após fratura-luxação carpometacarpiana corresponde ao procedimento de



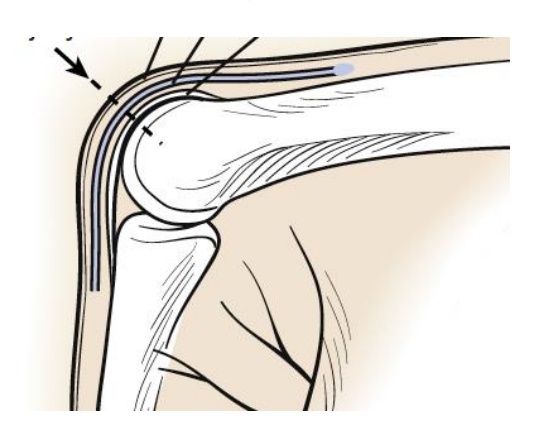
- A) GREEN.
- B) DUBERT.
- C) JUPITER.
- D) GILBERT.
- E) WECKESSER.
- 13) O tratamento cirúrgico da tetraplegia com o objetivo de restabelecer ganho seguindo a ordem da hierarquia funcional da mão é respectivamente a
 - A) flexão do punho, a pinça lateral, a força de preensão e abertura de dedos.
 - B) flexão do punho, a força de preensão, pinça lateral e fechamento de dedos.
 - C) extensão do punho, força de preensão, pinça lateral e fechamento de dedos.
 - D) extensão do punho, a pinça lateral, a força de preensão e abertura de dedos.
 - E) estabilização em neutro do punho, fechamento e abertura dos dedos e força de pinça.

- 14) Na figura anatômica abaixo, a origem dos músculos extensores do antebraço representadas pelas setas larga e estreita, são respectivamente:
 - A) curto do polegar e próprio do mínimo.
 - B) longo do polegar e próprio do mínimo.
 - C) curto do polegar e próprio do indicador.
 - D) longo do polegar e próprio do indicador.
 - E) longo do polegar e abdutor longo do polegar.



- 15) O músculo do polegar inervado conjuntamente pelo ulnar e mediano é o
 - A) adutor.
 - B) oponente.
 - C) abdutor.
 - D) flexor curto.
 - E) flexor longo.

16) A ordem das estruturas anatômicas acometidas na extensão da metacarpiana na lesão por soco na boca humana de proximal para a distal demonstrada na imagem é



- A) pele, tendão, osso e cápsula.
- B) tendão, pele, cápsula e osso.
- C) osso, tendão, pele e cápsula.
- D) tendão, cápsula, osso e pele.
- E) osso, cápsula, tendão e pele.
- 17) A principal suspeita diagnóstica numa criança de 18 meses que apresenta lesão dermatológica aguda demonstrada na imagem a seguir é



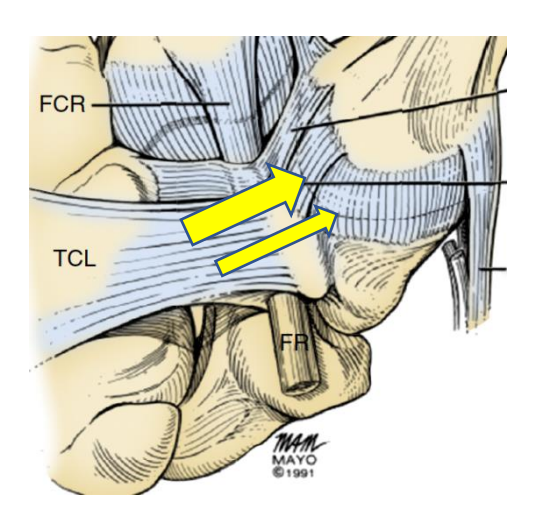
- A) herpes.
- B) impetigo.
- C) Coxavirus.
- D) streptococcia.
- E) staphylococcia.

18) A lesão localizada no dorso da mão num paciente que apresenta história de retocolite ulcerativa, demostrada na imagem a seguir, é compatível com o diagnóstico de



- A) HIV.
- B) Melanoma.
- C) Coxacvirús.
- D) Carcinoma epitelióide.
- E) Pioderma gangrenoso.
- 19) O mecanismo de lesão da fratura do pilão na articulação interfalangiana proximal no adulto é compressão associada à
 - A) flexão.
 - B) Tração.
 - C) Impacção.
 - D) Hiperextensão.
 - E) Lateralização.
- 20) A matrix germinativa da unha é responsável por
 - A) 50 % do seu volume.
 - B) 60% do seu volume.
 - C) 70% do seu volume.
 - D) 80% do seu volume.
 - E) 90% do seu volume.

21) Em relação a imagem a seguir , as estruturas ligamentares representadas pela setas larga e estreira, são respectivamente



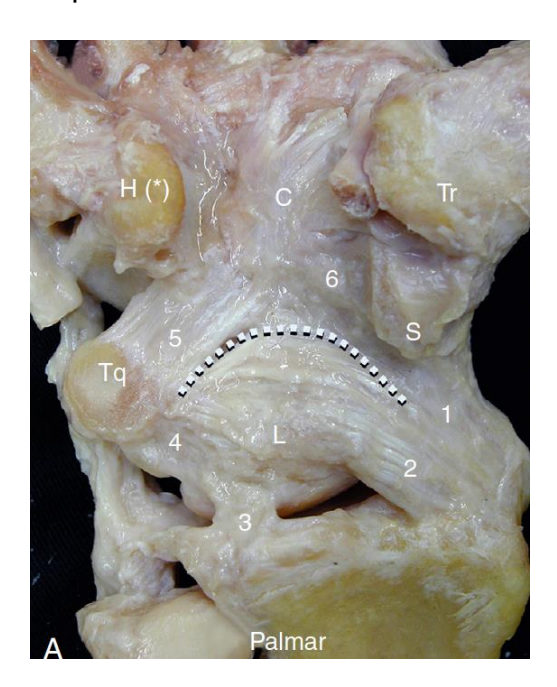
- A) obliquo anterior e escafotrapezoide.
- B) escafotrapezoide e colateral ulnar.
- C) colateral ulnar e intermetacarpiano.
- D) intermetacarpiano e colateral ulnar.
- E) colateral ulnar e oblíquo anterior.

22) A técnica de artroplastia trapeziometacarpeana na imagem a seguir foi descrita por



- A) EATON
- B) WEILBY.
- C) ZANCOLLI.
- D) THOMPSON.
- E) BURTON E PELLEGRINI.

- 23) Em relação à tenossinovite causada pela pseudogota , a localização mais comum do depósito de cristais de pirofosfato de cálcio é na região do
 - A) espaço radiocarpal.
 - B) capuz sagital extensor.
 - C) flexor ulnar do carpo.
 - D) espaço escafossemilunar.
 - E) fibrocartilagem triangular.
- 24) A artrodese escafocapitato causará uma diminuição do arco de movimento no punho de aproximadamente
 - A) 25%.
 - B) 30%.
 - C) 50%.
 - D) 75%.
 - E) 80%.
- 25) Em relação à anatomia do complexo ligamentar do carpo, a linha tracejada corresponde ao



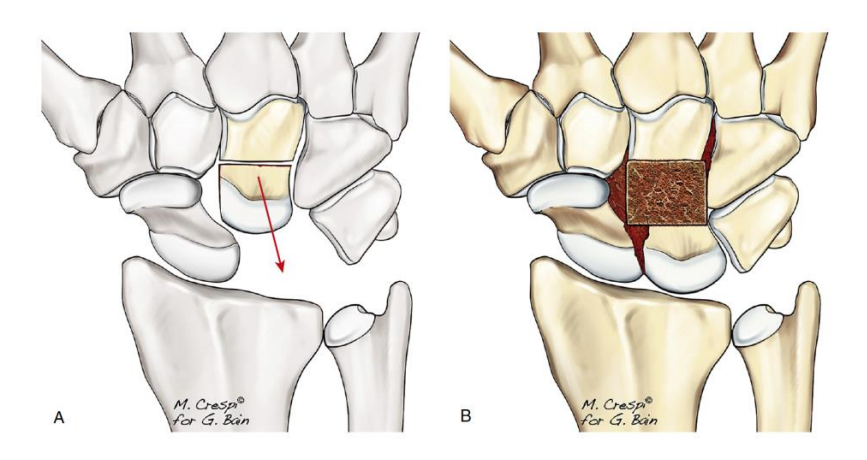
- a) ligamento de TESTUT
- b) ligamento de WEITBRECHT.
- c) espaço de POIRIER.
- d) ligamento escafosemilunar.
- e) ligamento arqueado.

- 26) Em relação à classificação artroscópica de EWAS, uma lesão escafossemilunar com ruptura dorsal e volar ligamentar sem diástase corresponde ao estágio
 - A) III B.
 - B) III C.
 - C) IV A.
 - D) IV B.
 - E) V.
- 27) Segundo o critério de graduação de SOONG, após síntese por placa bloqueada para fratura da extremidade distal do rádio, a imagem a seguir corresponde ao grau



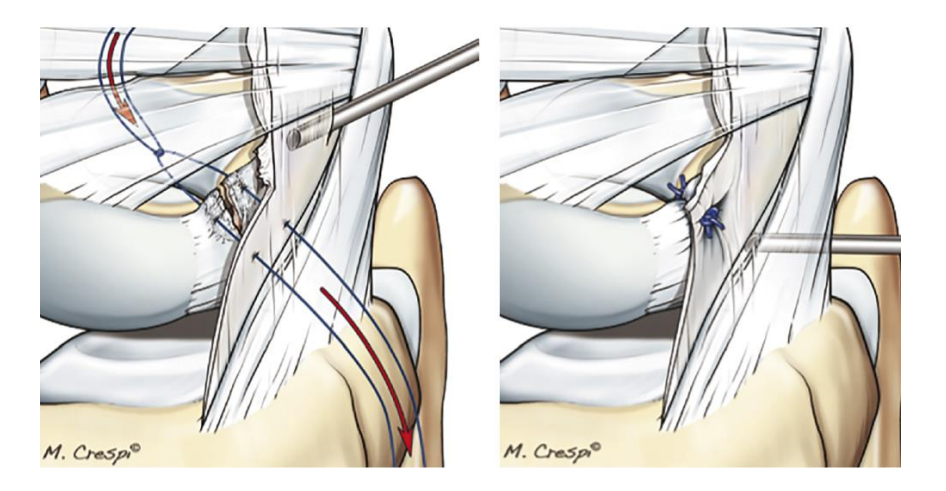
- A) 0.
- B) 1.
- C) 2.
- D) 3.
- E) 4.

- 28) A incidência de osteonecrose da fratura do polo proximal com desvio do escafóide é de aproximadamente
 - A) 5%.
 - B) 10%.
 - C) 50%.
 - D) 75%.
 - E) 90%.
- 29) No tratamento cirúrgico da doença de KIENBOCK, a técnica cirúrgica demonstrada na imagem a seguir foi descrita por



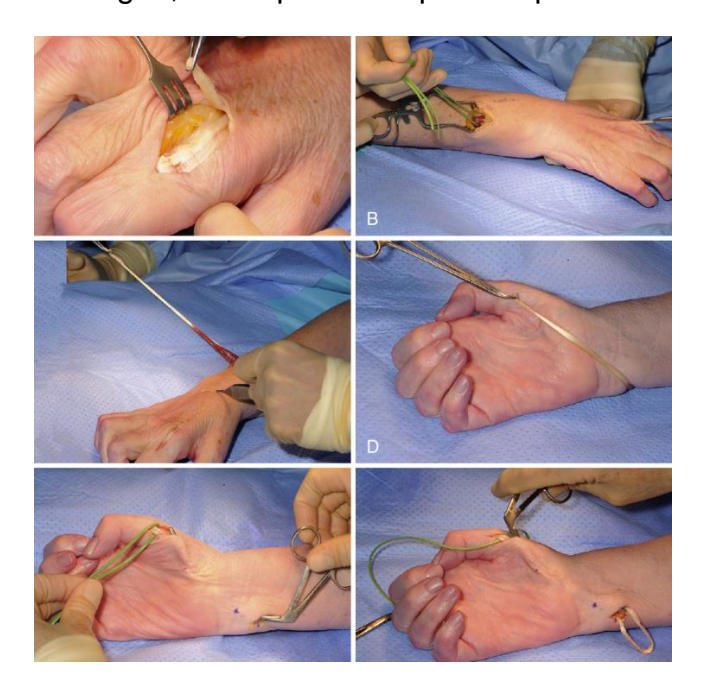
- A) HORI.
- B) GRANER.
- C) GEISSLER.
- D) ZAIDEMBERG.
- E) CAMAMBERT.
- 30) Na fratura da porção distal do úmero, o sinal do duplo arco na radiografia do perfil no cotovelo está presente na fratura
 - A) KOCHER.
 - B) LORENZ.
 - C) STEINHAL
 - D) COMINUTIVA DA TRÓCLEA.
 - E) CORONAL DO CAPÍTULO.

31) A técnica de reparo artroscópico da ruptura escafossemilunar demonstrada na imagem a seguir foi descrita por



- A) CRESPI.
- B) BERGER.
- C) MATHOULIN.
- D) NAKAMURA.
- E) ZAIDEMBERG.
- 32) Na artroscopia do cotovelo, o portal anteromedial é descrito em relação ao epicôndilo medial é realizado aproximadamente
 - A) 1 cm distal e 1 cm anterior.
 - B) 1 cm proximal e 1 cm posterior.
 - C) 2 cm distal e 1 cm anterior.
 - D) 1 cm proximal e 2 cm posterior.
 - E) 2 cm distal e 2 cm anterior.
- 33) No exame clinico da síndrome compressiva de WARTEMBERG, os sintomas são agravados com o antebraço em
 - A) supinação, com o punho em neutro.
 - B) pronação, com flexão e desvio ulnar do punho.
 - C) supinação, com extensão e desvio radial do punho.
 - D) pronação, com flexão e desvio radial do punho.
 - E) supinação, com extensão e desvio ulnar do punho.

- 34) Uma etiologia muito citada da síndrome do desfiladeiro torácico, a presença da costela cervical e de forma bilateral, são respectivamente de
 - A) 5% e 25%.
 - B) 5% e 50%.
 - C) 15% e 30%.
 - D) 50% e 75%.
 - E) 0,5% e 50%.
- 35) Na técnica de microneurorrafia quando é utilizada a cola de fibrina , após sua aplicação , deve-se aguardar o intervalo de tempo mínimo de
 - A) 1 minuto.
 - B) 3 minutos.
 - C) 5 minutos.
 - D) 6 minutos.
 - E) 10 minutos.
- 36) A transferência tendinosa para correção do polegar descrita, na imagem a seguir, corresponde a oponentoplastia descrita por



- A) GREEN.
- B) CAMITZ.
- C) HUBER.
- D) BURKHALTER.
- E) ROYLE-THOMPSON.

- 37) Na técnica de transferência muscular livre para o tratamento de paralisia do plexo braquial em adulto, o pedículo vascular do grácil utilizado na reconstrução é dissecado entre os músculos
 A) grácil e isquiotibiais.
 B) isquiotibiais e sartório.
 C) sartório e adutor curto.
 D) adutor curto e adutor longo.
 E) adutor longo e adutor magno.
- 38) A deformidade de Madelung associada à discondrosteose LERI-WEILL está relacionado ao gene
 - A) HOX.
 - B) CFTR.
 - C) TIMP-1.
 - D) T-BOX.
 - E) HLA-B27.
- 39) A acrossindactilia associada à síndrome de STREETHERS é classificada por PATTERSON como tipo
 - A) I.
 - B) II.
 - C) III.
 - D) IV.
 - E) V.
- 40) Em relação à epidemiologia da mão torta ulnar, é correto afirmar
 - A) mais comumente unilateral.
 - B) não há formação de unlage.
 - C) A mão geralmente não está acometida sempre acometida.
 - D) 30% dos casos apresenta ausência de dedos.
 - E) 90% dos casos apresentam sindactilia.

- 41) A pseudartrose congênita da ulna está associada a
 - A) focomelia.
 - B) Holt-Oram.
 - C) neurofibromatose.
 - D) Síndrome de VACTREL.
 - E) Deficiência femoral focal proximal.
- 42) Na paralisia obstétrica , a paralisia do músculo romboide corresponde ã raiz de
 - A) C4.
 - B) C5.
 - C) C6.
 - D) C7.
 - E) C8.
- 43) O retalho fasciocutâneo demonstrado na imagem a seguir corresponde ao



- A) antebraquial ulnar.
- B) antebraquial radial.
- C) Latíssimo do dorso.
- D) lateral do braço.
- E) Interosseo posterior.

- 44) O retalho do grande dorsal livre apresenta um pedículo vascular com diâmetro e comprimento final, respectivamente de
 - A) 1.0 mm e 8 mm.
 - B) 1.5 mm e 10 mm.
 - C) 2.0 mm e 12 mm.
 - D) 2.5 mm e 16 mm.
 - E) 3.0 mm e 20 mm.
- 45) O sítio do pedículo vascular do enxerto da fíbula livre vascularizada encontra-se entre os músculos
 - A) fibular curto e longo.
 - B) fibular longo e tibial posterior.
 - C) tibial posterior e flexor longo do hálux.
 - D) flexor longo do hálux e músculo solear.
 - E) músculo solear e fibular curto.
- 46) A doença de JACCOUD na mão é um achado típico da
 - A) artrite psoriásica.
 - B) artrite reumatoide.
 - C) lúpus eritematoso.
 - D) artropatia gotosa
 - E) esclerodermia sistêmica.
- 47) A técnica de reconstrução tendinosa após ruptura, no paciente com artrite reumatóide demonstrada na imagem a seguir na figura B foi descrita por



- A) FRIDEN.
- B) ZAPICO.
- C) LARSSEN.
- D) NALEBUFF.
- E) SWANSON.

- 48) A localização mais comum do osteoma ostóide na mão é na
 - A) colo da falange média.
 - B) base da falange média.
 - C) Colo da falange proximal.
 - D) Base da falange proximal.
 - E) cabeça do metacarpiano.
- 49) O tumor ósseo mais comum da mão na criança é
 - A) lipossarcoma
 - B) rabdossarcoma.
 - C) osteossarcoma.
 - D) sarcoma de EWING.
 - E) sarcoma epitelióide.
- 50) Na mão esmagada com perda dos três dedos centrais, o dedo mínimo remanescente assume
 - A) 20% da função da mão.
 - B) 30% da função da mão.
 - C) 40% da função da mão.
 - D) 50% da função da mão.
 - E) 60% da função da mão.